2001 - 0066943

	(19) (12)	(KR) (A)	
(51) 。Int. Cl. ⁷ A61B 5/02		(11) (43)	2001 - 0066943 2001 07 11
(21) (22)	10 - 2000 - 0041545 2000 07 20		
(30)	09/357,559 1999 07 22	(US)	
(71)	,		
	08933		
(72)	33		
(74)			
:			
(54)			

,

1

, , , ,

1				
2				
3				
4				
5a	5e			2
6			•	
7			·	
8				
9	가	·		
10		LAT -		
11	(atrial flutter)	LA	Т-	
12		(ventricular tachycardia)		-
13	·	(sinus rhythm)	가	
10	·	(SindS my min)	71	
14				
*		*		
18:	20 :			
21 :	22 :			
24 :	26 :			
28 :	30 :			
32 :	34 :			
36 :				
	38 :			

73 :ECG

52:

1998 7 24 09/122,137 가 5,471,9 5,718,241 PCT WO94/06349 , WO96/05768 WO97/24981 82 5,391,199 5,391,199 가 가 (3D) 5,391,199 가 가 3D 가 (mesh) 가 СТ MRI 가 (Circulation 615 (1986 9) (Kadish, et al.) 3 603

- 3 -

```
Vector Mapping of Myocardial Activation)" .
                                                                                           86
                                                                                              2
    375
            382 (1992 8 )
                                            (Gerstenfeld ed al.)
                                 (Evidence for Transient Linking of Atrial Excitation During Atrial Fib
rillation in Humans)", " (Cardiol. 1991; 18:1034 - 42)". (J. Am. Coll)
                                            (Detection of Changes in Atrial Endocardial Activation wi
th Use of an Orthogonal Catheter)",
                                           5,487,391
                                                        3D
          가
          가
                                               3D
                   3D
          가
                                                3D
          가
                                                                                           3D
          가
                                                                       3D
          가
                                                                             3D
                                                가
                 (
                                         3D
            200
                            , 50
        10
               20
                가
                               3D
                                                                      가
                                                        가
                        3D
```

, . ,

.

,

50 80% , 75% .

· ,

, , , , 4 9 ,가 8 . 가 , , . 0

. 0 1 ,

- 5 -

가 2 가 가 가 가 가 (Euclidea n geometrical distances) 가 1 가 가 가 가 (Gaussian - like kernel) 가 가 가 가 가 가 가 PCT GB93/01736 , WO94/04938 , WO97/24983

, 5,391,199 .

, , ,

5,391,199 PCT WO96/05768

가 , , 가 , ECG 가

, 가 , 가 , 가 , 가 () ()

, 가 , 2 가 / ·

가 , 가 가 . 가 , 가 1 ,

·
.

, , ,

-7-

PCT WO97/24981) 가 가 가 . 가 가 , LV -가 3D 가 가 가 가 가 가 가 (LAT) . LAT LAT

- 8 -

LAT 가 가 LAT ECG LAT()): 가 3D 가 가 가 가 가 가

- 9 -

,

,

, 4 10 .

,

, 50 90%

, 가

, 가

, 가 .

•

, 가 .

, ·

, .

,

가 , .

, 가 가 .

, 가 ·

•

•

•

•

, .

, 6

,

•

, .

, .

, 200 , 50 ,가 20

, 가 , .

,

,

, .

, .

가 , · ,

, 1 , 1 가 .

,

, , 가

, 가 가 4

가 가 , 3D

가 .

•

,

,

, 가 .

- 12 -

,

•

, 4 10

,

, 가 ,

, 가 가

, 가 ,

·

·

, .

,

, ·

,

가 ,

, ·

, ECG .

가 ,

·

, 3

, ,

,

•

, .

, 가 가 ·

가 , , ,

,

가 .

, ,

•

, 가 .가 ,

, 가 .

, , 가 .

,

,

,

,

, , ,

,

- 15 -

,

```
(18)
 1
                                                          .
(22)
(18)
                                                  (20)
                                    (20)
(26)
                                    (24)
                                                (24)
                   5,391,199
                             PCT
                                   WO97/24983
                                                 가 ,
                                                           (24)
                                    . (24)
                                                 (24)
       (22)
. (28)
PCT WO96/05768
(20)
                                                                (2
8) 가
                           (26) (24) . (28)
                                 6가
                                 5,391,199 ,
                                             5,443,489 PCT
 , (28)
                                              가 , (26)
94/04938
                                                             가
 가
 (20)
                                                (22)
                       (30)
               (32)
                                            (20)
   (22)
               , (26)
   (20) 7 (20)

(34) (36) , (38) ,

(42) . (40)

(20) ,
                                            (34)
                                                 (21)
(40)
                                                   (28)
                                                    가
                     (36)
           , (40)
                                                            (36)
                                             (36)
```

, (18) (52) (36) ECG (73) . , ECG (40)

2 (70) (20) . (20) (70) (75, 77)

2001 - 0066943

(72) , (26) (24)(28) (70) (78) (70) (20 , (26) , 78) (70) (26) 가 가 , (26) 가 (70) (24)(78) ECG (73)가 가 ECG 가 , (26) (20)가 PCT W097/24981 3 (20) (72) (70) (26)(26) (72) 가 가

- 17 -

가

```
(26)
                                                                                                 (72)
                                                                                   가
(36)
                                   10
                                          20
                                                                                  100
           가
                                                                       (36)
    (70)
                                          (70)
     (t_0)
                                가
                                                   가
                                                                   가
                                      가
  5a
             5e
                                                                                     2
                                                      2
                                                                                   3D
                                                       (S_i)
                                                 (90)
  5a
                                 (90)
           (90)
(90)
                 가
                                 (90)
    , LV -
                               (36)
                 가
                                                  (90)가
                                                                             (38)
                                         1992
                                                2
                                                                                        14(2): 239
                                                                              IEEE
                                      (Paul J.Besl and Neil D. McKay)
                                                                            " 3 - D
                                                                                                  (A m
ethod for registration of 3 - D shapes)"
1990
                                               (O. Faugeras, ed.) Computer Vision - ECCV90(
                            526
                                       536 , 1990 4 23 - 27 ,
 (Heim J. Wolfson)
                                                                 (Model - based object recognition by ge
ometric hashing)"
                                                     (International Journal of Computer Vision) 5 195
                      1990
       212
                                       (P. Huttenlocher and S. Ullman)
```

(Recognizing solid objects by alignment with an image)"

1

$$rac{
ightarrow}{V_{j}} = C_{f} \sum_{i} rac{
ightarrow}{r_{j}^{k} + arepsilon} \div rac{1}{r_{j}^{k} + arepsilon} \cdot r_{j} = \left| egin{array}{c}
ightarrow V_{ij}
ightarrow V$$

 (S_i, G_j) $(S_$

2

$$\delta_{i} = \frac{1}{\sum_{j} \frac{1}{(S_{j} - S_{i}^{2} + 1)}}$$

S , () . ,가

.

(f)가 . , (f) . (f) , (f) , $(4) \qquad \qquad w_i(G_j) \qquad (G_j) \qquad (S_i) \\ , \qquad (4) \qquad (M_i(G_j)) \qquad (G_j) \qquad (S_i) \\ , \qquad (M_i(G_j)) \qquad ($ 가 (3) (G_i) 가 k 2 6 ,가 4 . ,k , $S_i,\,G_i$ f (G_j)

3 $\overrightarrow{f(G_j)} = \frac{\sum_i w_i(G_j) \cdot (S_i \text{-} G_i)}{\sum_i w_i(G_j)}$

 $w_{i}(G_{j}) = \frac{1}{||G_{i} - S_{i}||^{k} + C} \qquad C > 0$

(C) (G_i) 0.5 . 가 , 1가

 R^{3} (2), (3) (4)

(G'₁) (S_i) (G'_k) (G'_k) 5d $(\stackrel{,}{\stackrel{}{\scriptstyle \nu'_k}})$

, 1가 (X₂) .

, $(\mathsf{G'}_{15})$, $X_1, \overset{\rightarrow}{\widetilde{X}_1}, \mathsf{I}_1$, $X_2, \overset{\rightarrow}{\widetilde{X}_2}, \mathsf{I}_2$ 1 가 , d_1 d_2 (G'_{14}, G'_{16}) $(\overrightarrow{\nu}_{14}, \overrightarrow{\nu}_{16})$, , d , 5d G₁₅ G₁₄ , d₂ G_{15} G_{16} $, d_1 d_2 \qquad X_1 X_2$, 5d

5 $\frac{\rightarrow}{V'_{15}} = \frac{d_2}{d_1 + d_2} \xrightarrow{V'_{14}} + \frac{d_1}{d_1 + d_2} \xrightarrow{V'_{16}}$ (8) , 가 , 가 (4 N_0) 가 가 3×3 가 5 10 , 가 , 가 가 , 가 (100) 5e . 5e , 가 (36) , 가 가 가 (36) 가 가

```
(N_T),
  , 가
                                                                                                 (N_T <
NO) 가
                   2
                   (t1)
                                        가
                               (t1)
                                                                                            가
                                                                                    (20)
                                                                                                 (24)
                                                                                                 (S<sub>1</sub>,
                                 (G'<sub>1</sub>, G'<sub>4</sub>, G'<sub>7</sub>, )
S_2, S_6,
                                         가
                                                                           가
                                                                                                  가
                 가
                                               0 -
                                                               (zero - order - hold filing in method)
                                                                                        . , 가
                                                                             가
      , 3D
                                                                (130)
  6
                                                                                    ) (132)
                         (130)
           (134)
                                    (132)
                                                            가
                                                                          (132)
                                             (134)
                                                                                    (140)
가
                                 (132)
                                                                                             ( - blend
                                                                          (136)
                                                                                       (130)
ing)
                                               (130)
                                               가
                           가
  7
                                                                               가
                                                             (150)
                                                                             . (150)
    가
                                                 가 (O)
                     (150)
                                                                                     (150)
                                                  (152)
                           (152)
                                                                                        (150)
```

- 22 -

(O) 4 A_m , B_m , C_m m -(150) (150) (V) (6) 6 $V = \frac{1}{6} \sum_{m} (B_m - A_m) \times (C_m - A_m) \cdot (O - A_m)$ 8 3D (20) (70) (76)(120) (20) (76) (36) (34) (124) (122) (124) 가 (76) 가 (42)가 가 가 3D 3D (20) (24)(LAT: local activation time) (24) , ECG (73) ECG 가 , LAT가 가 LAT (V) 가 (d(V)) 0 -

- 23 -

3D ,

. , , LAT

 $\frac{\partial}{\partial t} = \frac{t_b - t_a}{t_c - t_a} \xrightarrow{c} + \frac{t_c - t_b}{t_c - t_a} \xrightarrow{a}$

 $\stackrel{ o}{\scriptstyle v}$

 $\frac{\overrightarrow{v}}{\overrightarrow{v}} = \frac{\overrightarrow{d} \cdot \overrightarrow{b}}{\overrightarrow{v} \rightarrow v} \times \frac{\overrightarrow{v}}{N}$

 $\|\overrightarrow{v}\| = \frac{\overrightarrow{c} \cdot \overrightarrow{a}}{t_c - t_a} \cdot \frac{\overrightarrow{v}}{\|\overrightarrow{v}\|}$

가 , . , ,

1.

2.				
, 가	, \rightarrow , ν	. (gray scale)	\overrightarrow{v}	,
,	. ,	. , LAT	가	가
10	, (10) 가 1	. LAT . LAT 	,	(1)
11		LAT	·	
12	가	. LAT 1 10	,	. 12
13	(sinus rhythm) . ,	(LAT).	. (
14	. 10	. , LAT		,

- 25 -

LAT	ECG	(-) .		. 가	
,	, LAT) .			. LAT
14	, (가 , , , ,)가	3D 가		, , , , , , , , , , , , , , , , , , ,	11
-)	3	,	,			(
	, 가 . 가 ,		,		,	
,			,			
,		3D		3D		
3D	,	, 3D	3D 3D		,	,

- 26 -

3D

(57)									
	1.								
			,						
						,			
				,					
								•	
	2.								
1		,							
	3.								
2		,							
	4.								
2								(LAT: loca	al activ
3 ation t	ime)	,						(LAT. 100a	ai activ
	5.								
4		,							
	6.								
4	0.								
1 .		,							
	7.								
6		,							
		,							,
	8.								
7		,							
	9.								
8		,					,		
			가	,		,			

- 27 -

(LAT) ,

		,	LAT
		,	
	10.		
9	가	, ·	
	11.		
10		,	
,	12.		
11		,	
,	13.		
6		,	
	14.		
13		•	가
	15.		
13		, .	
	16.		
13		,	
	17.		

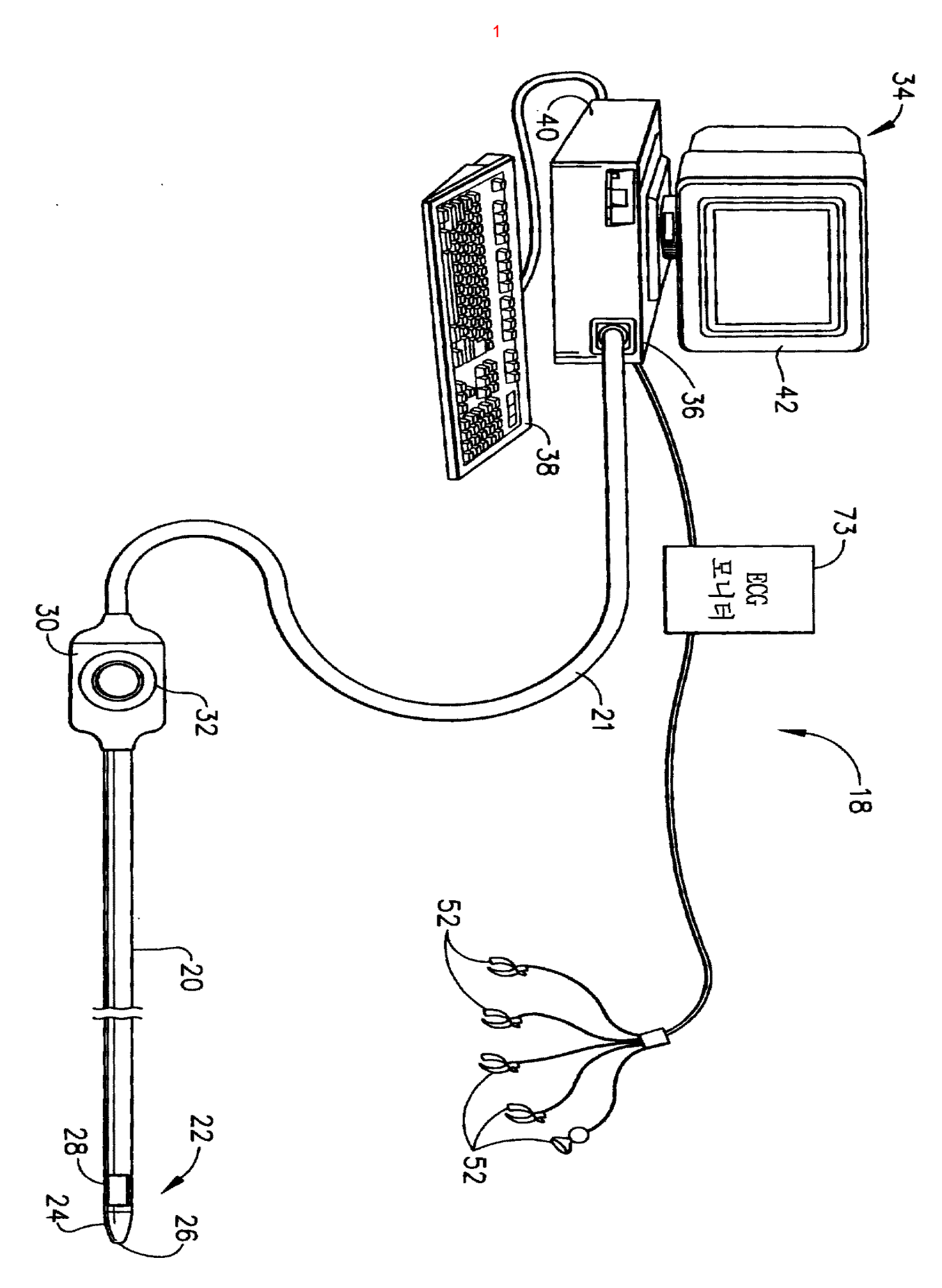
- 28 -

5

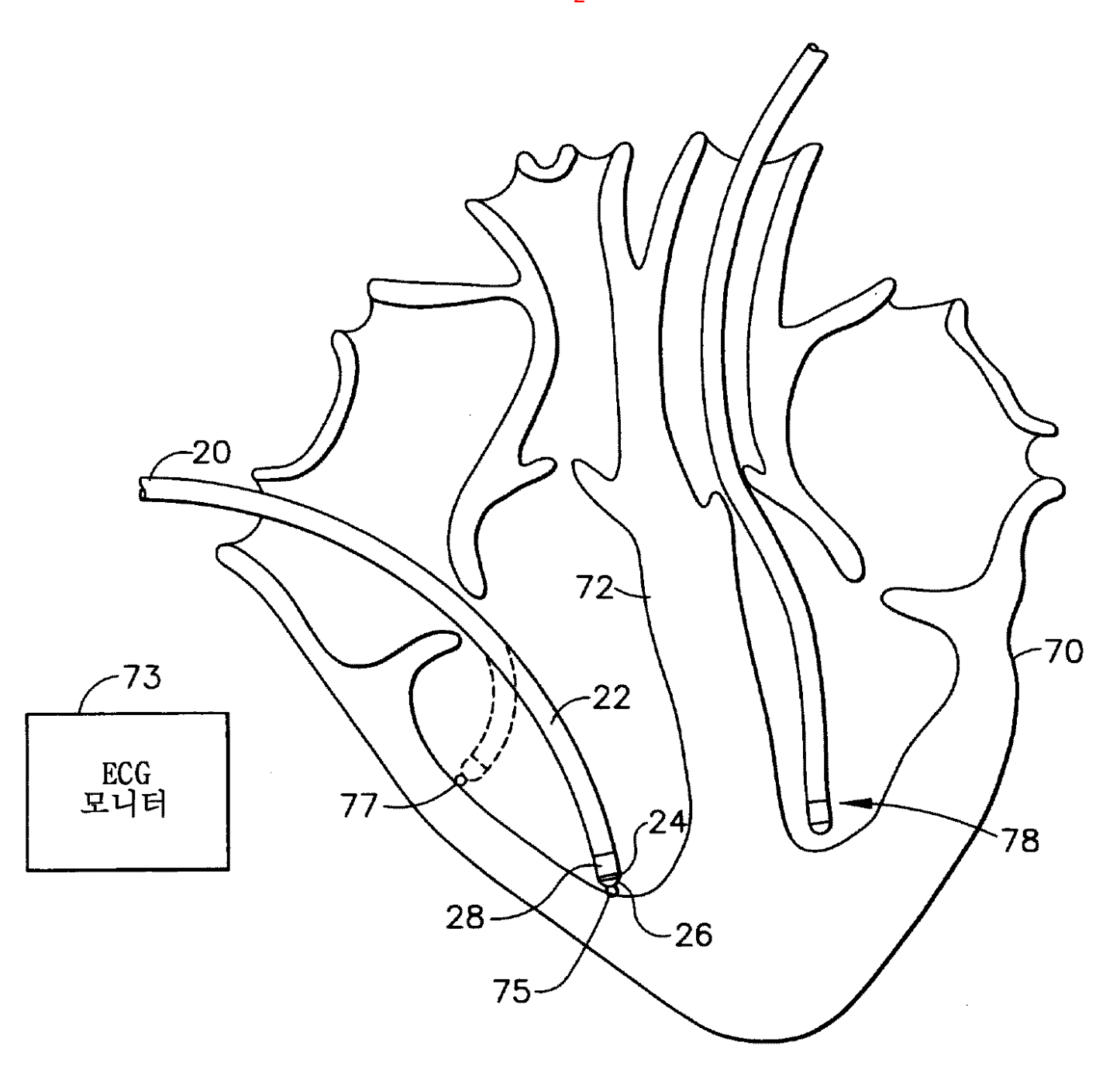
18.

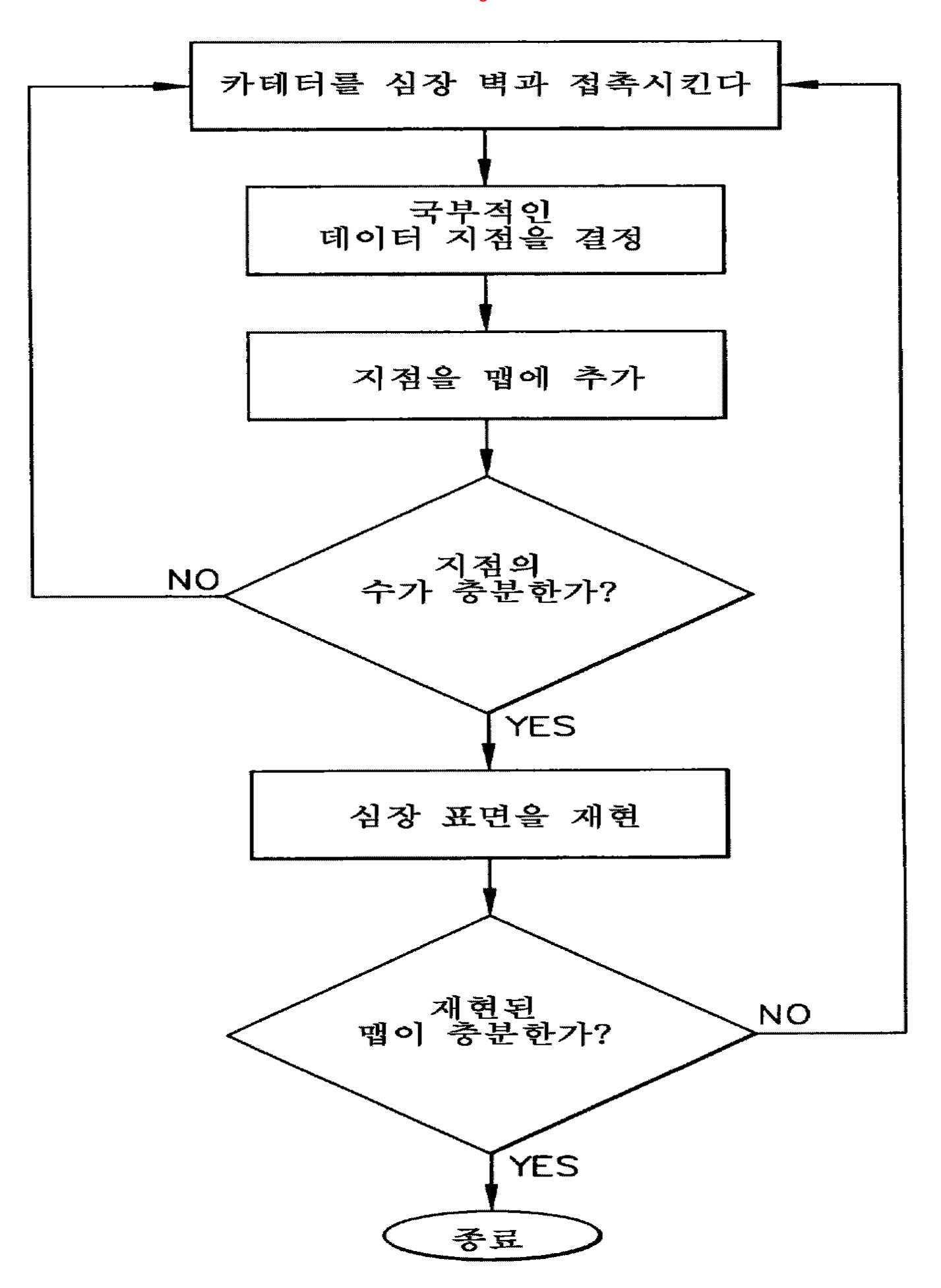
9 ,

•

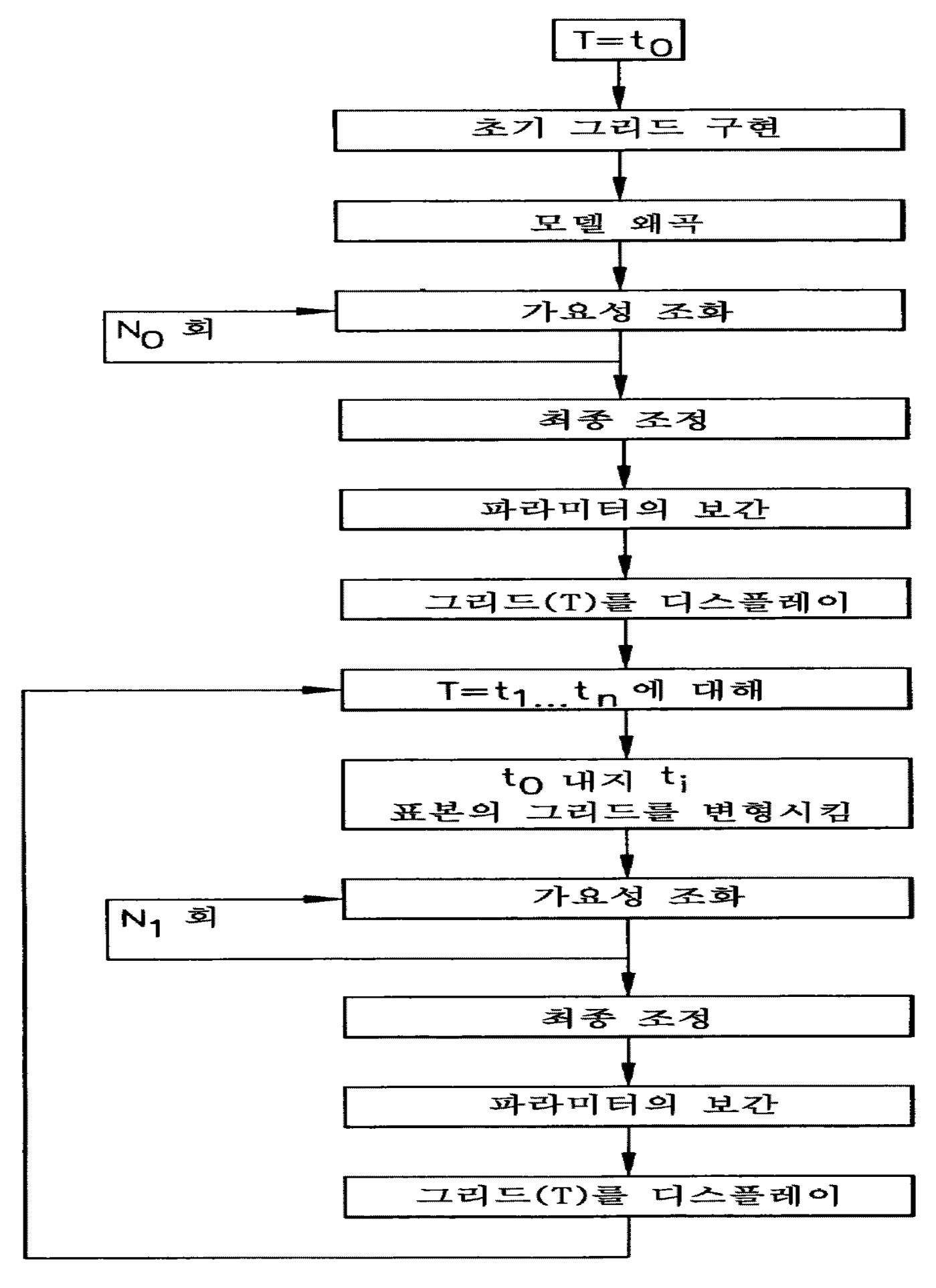


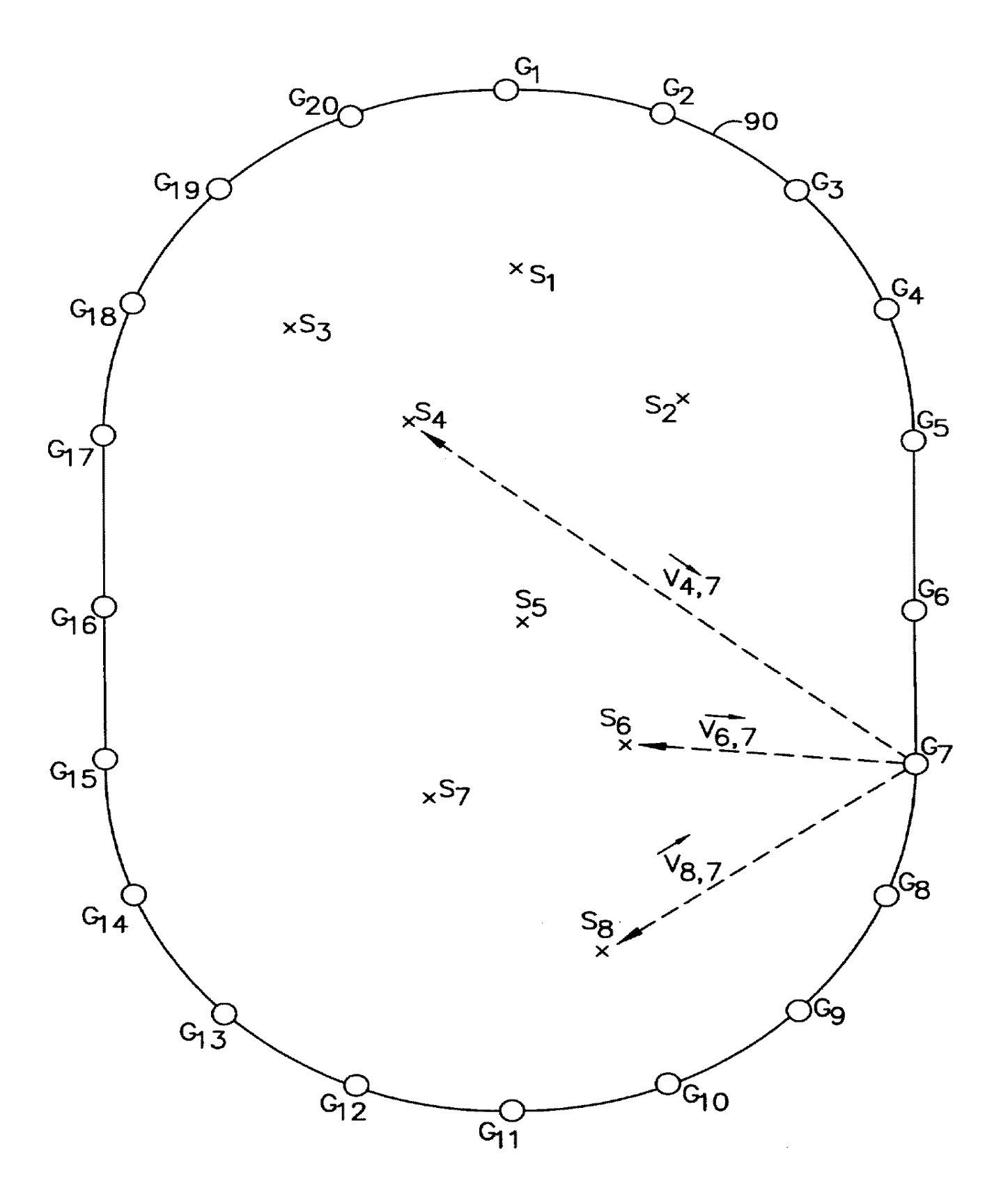
2

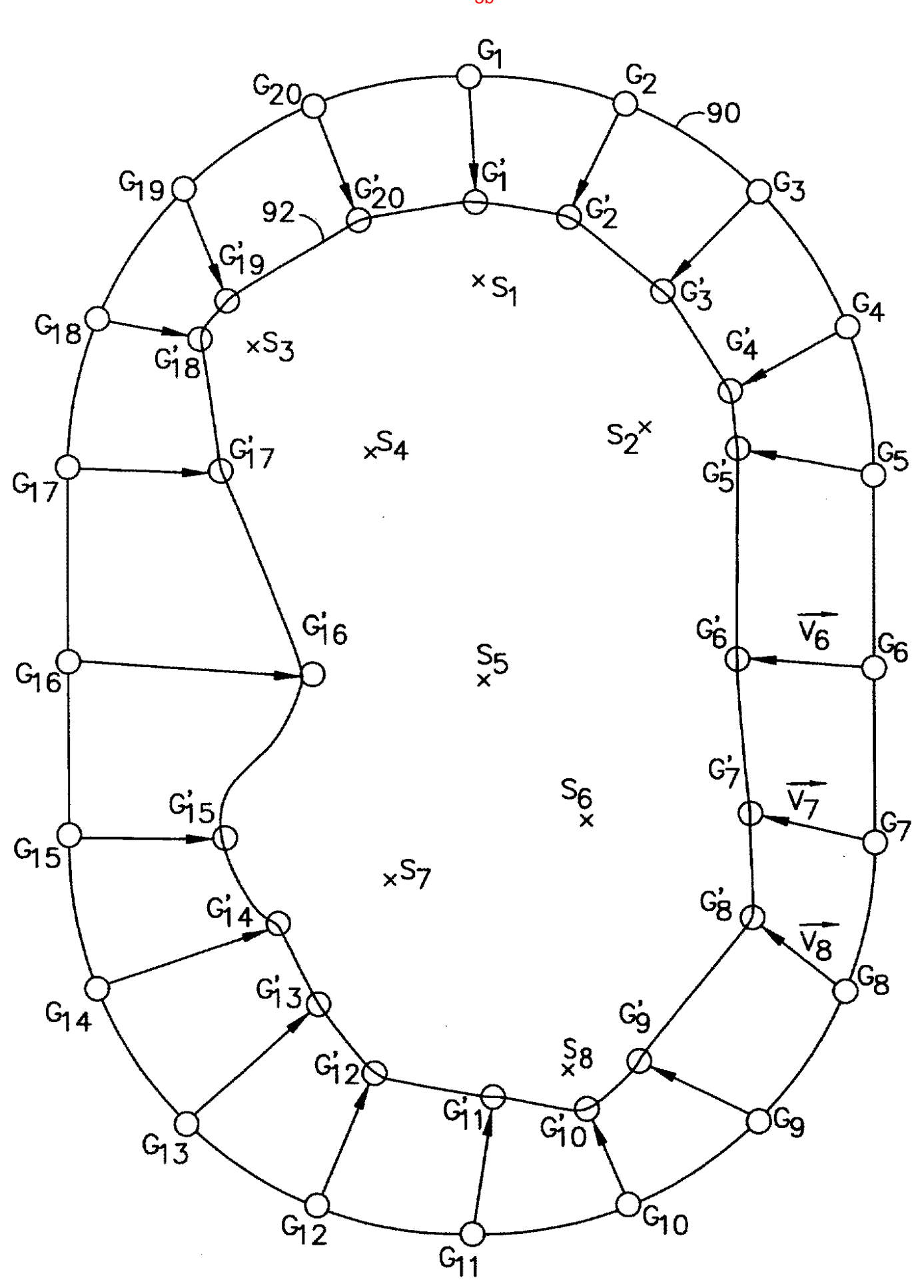




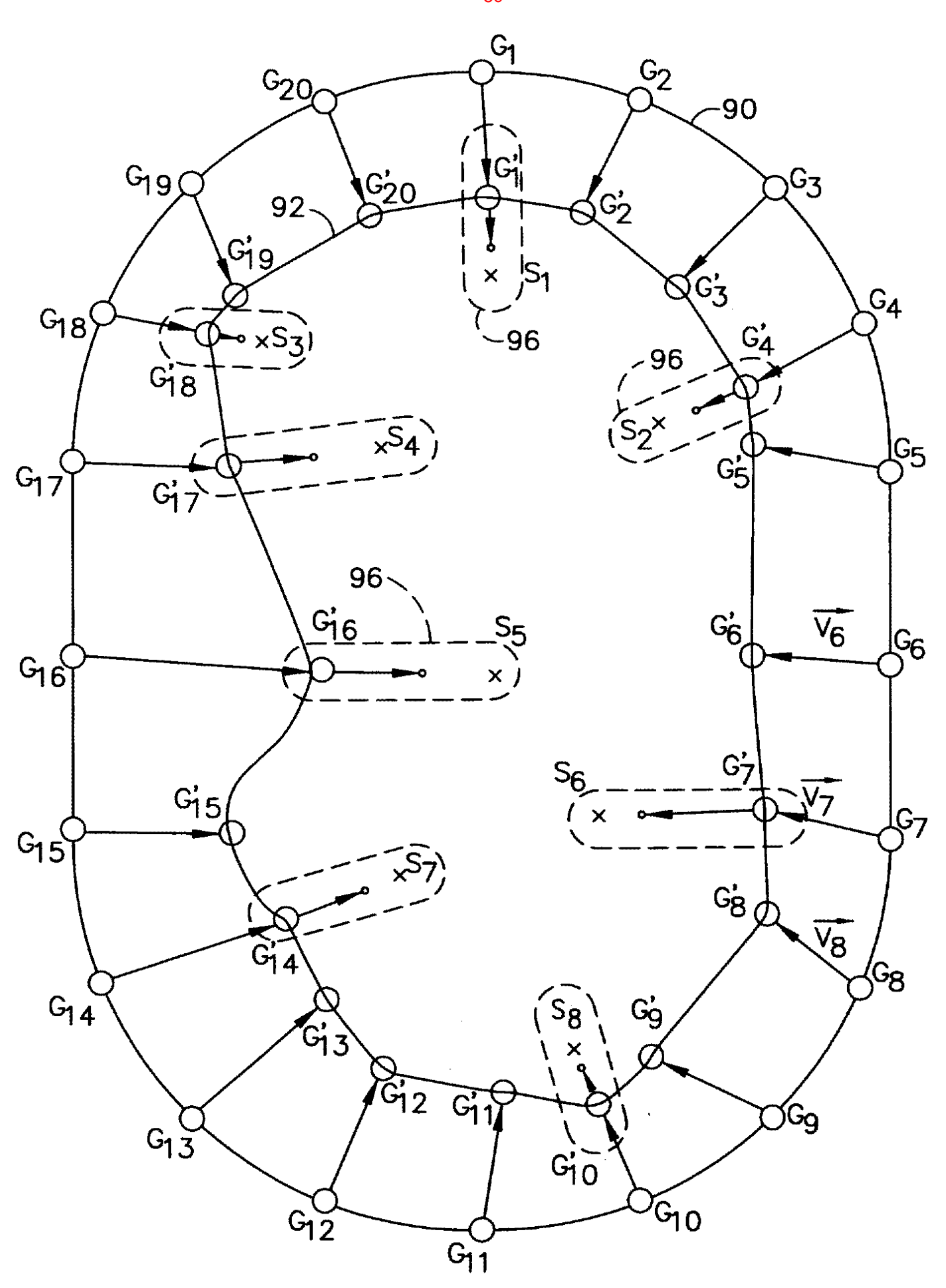
4

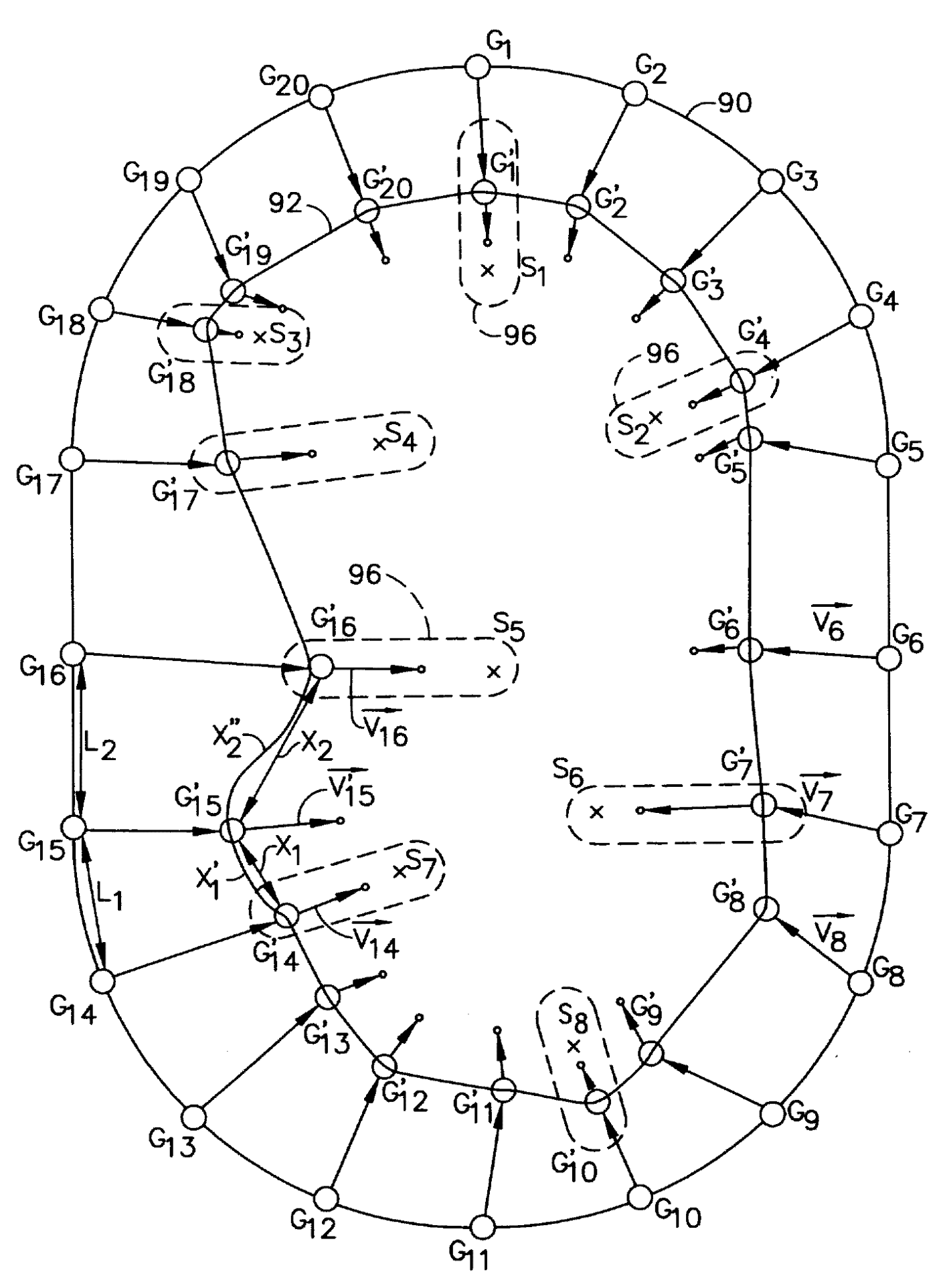


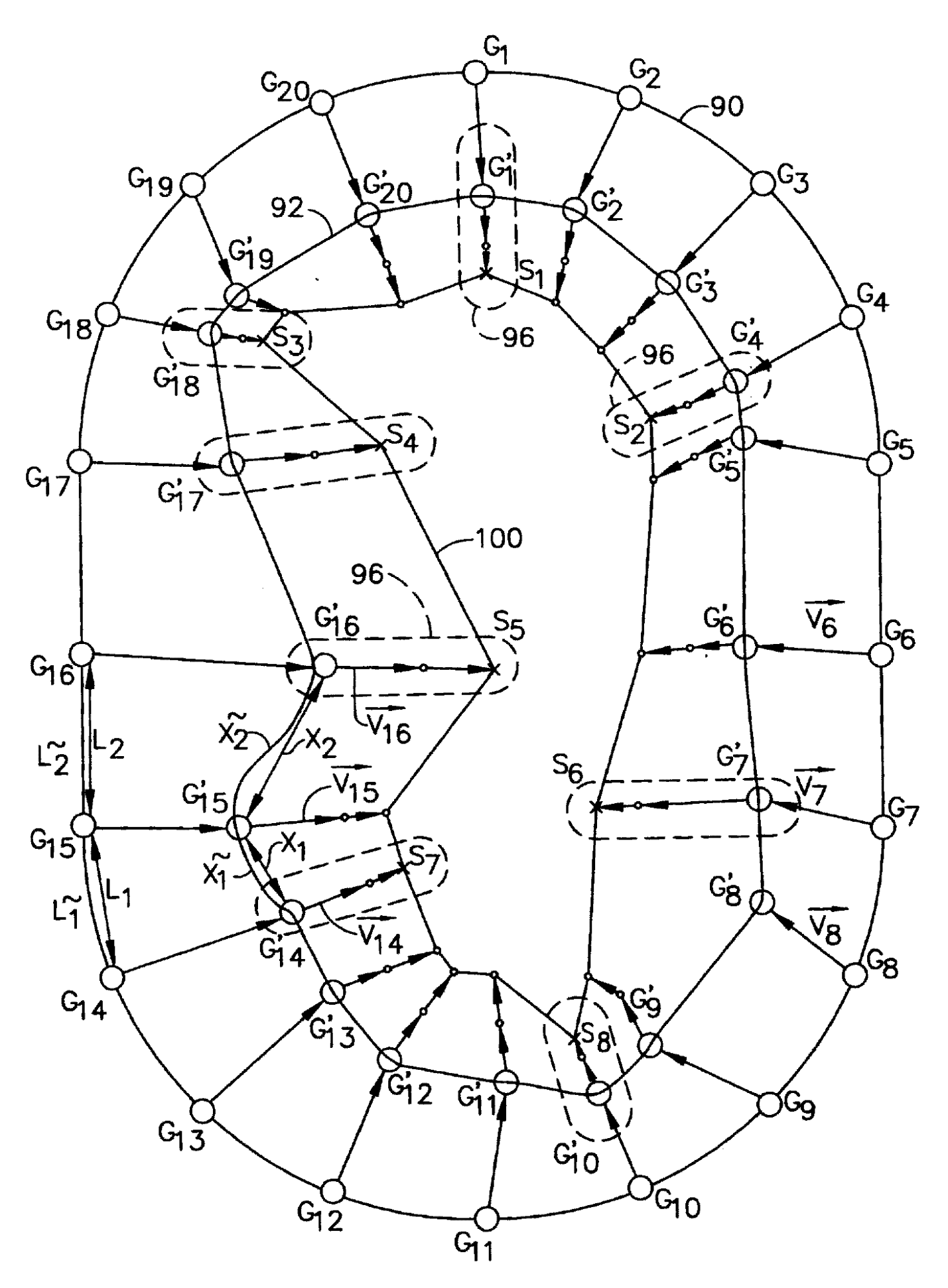


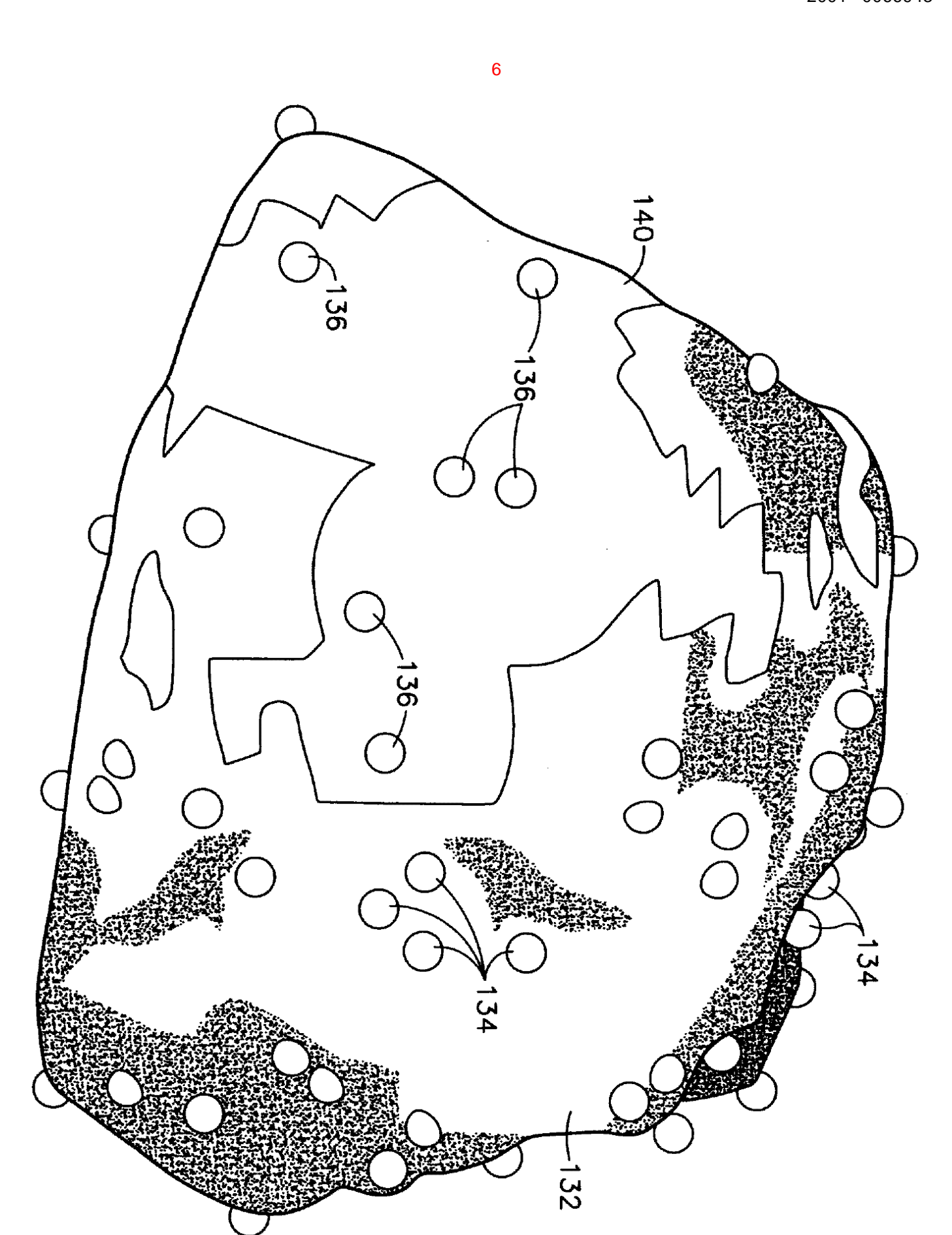


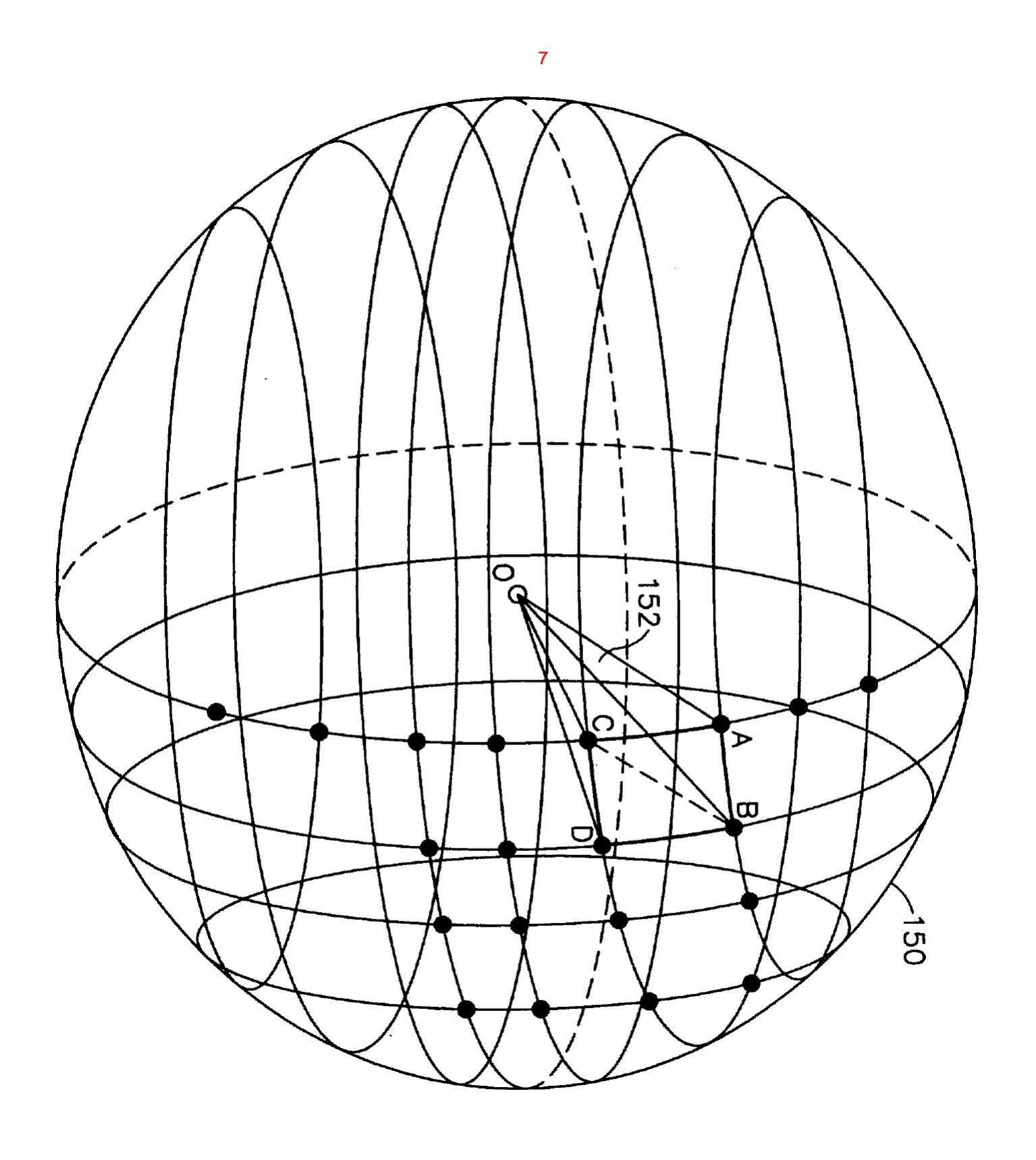
5c



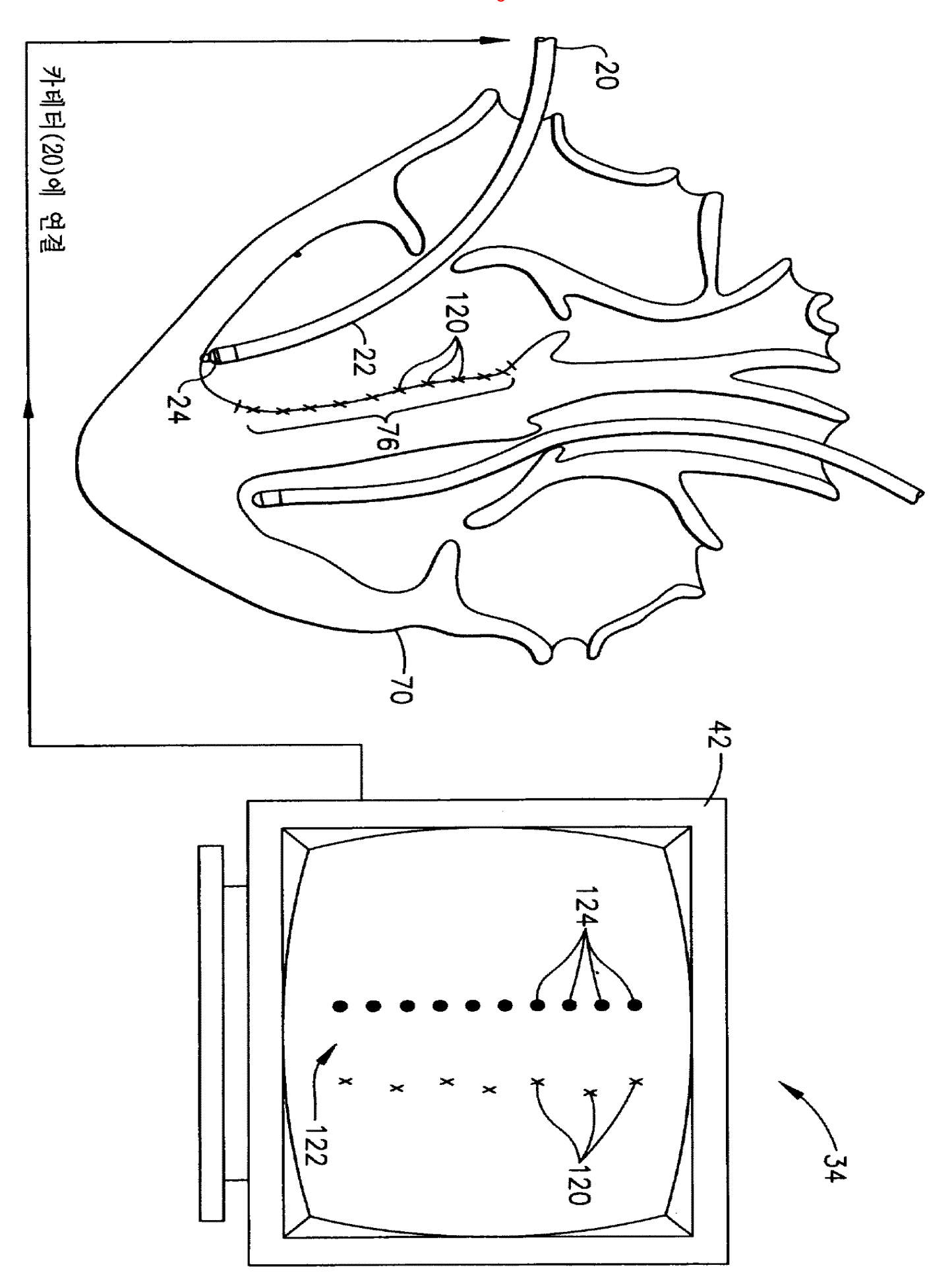




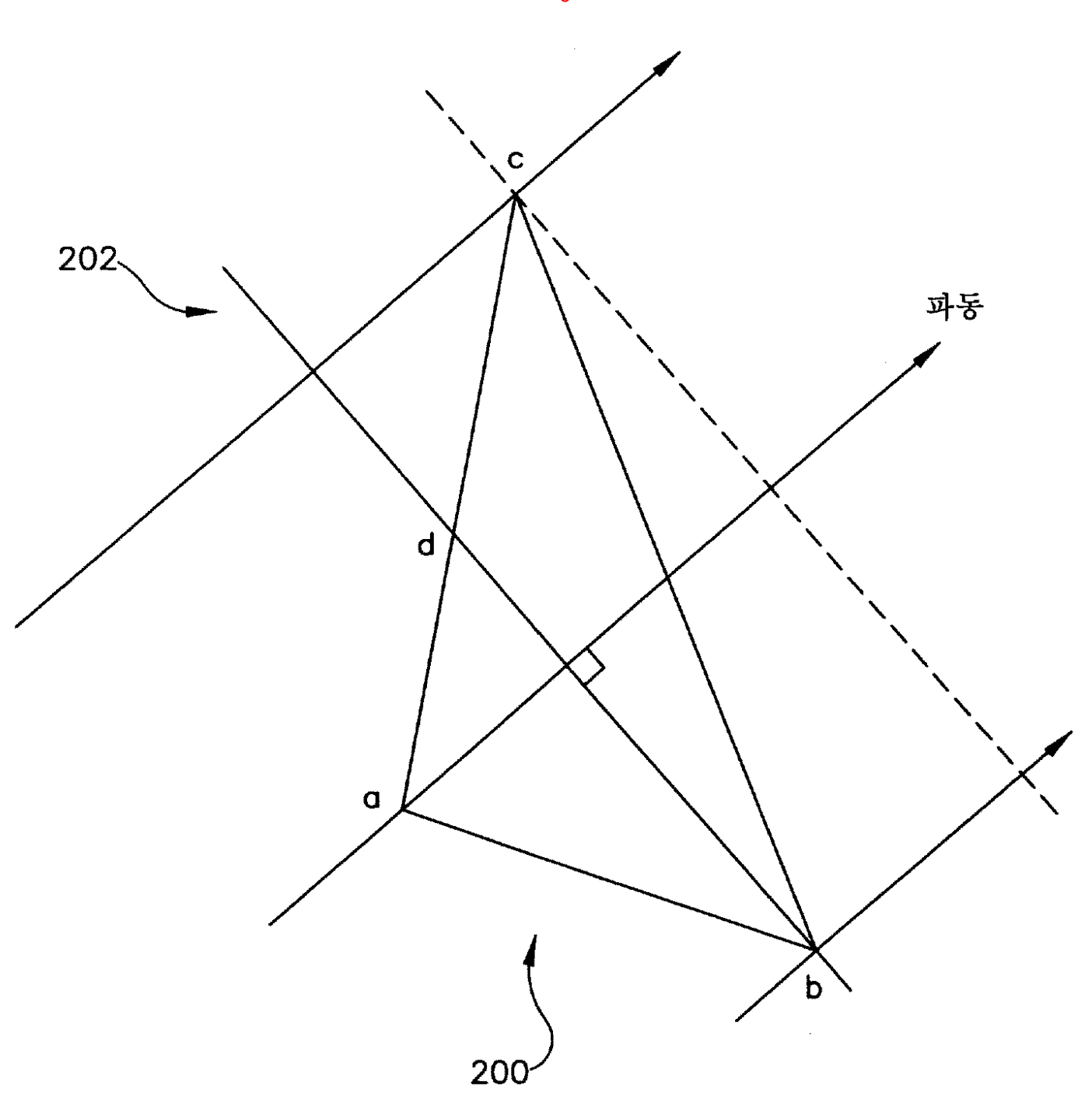


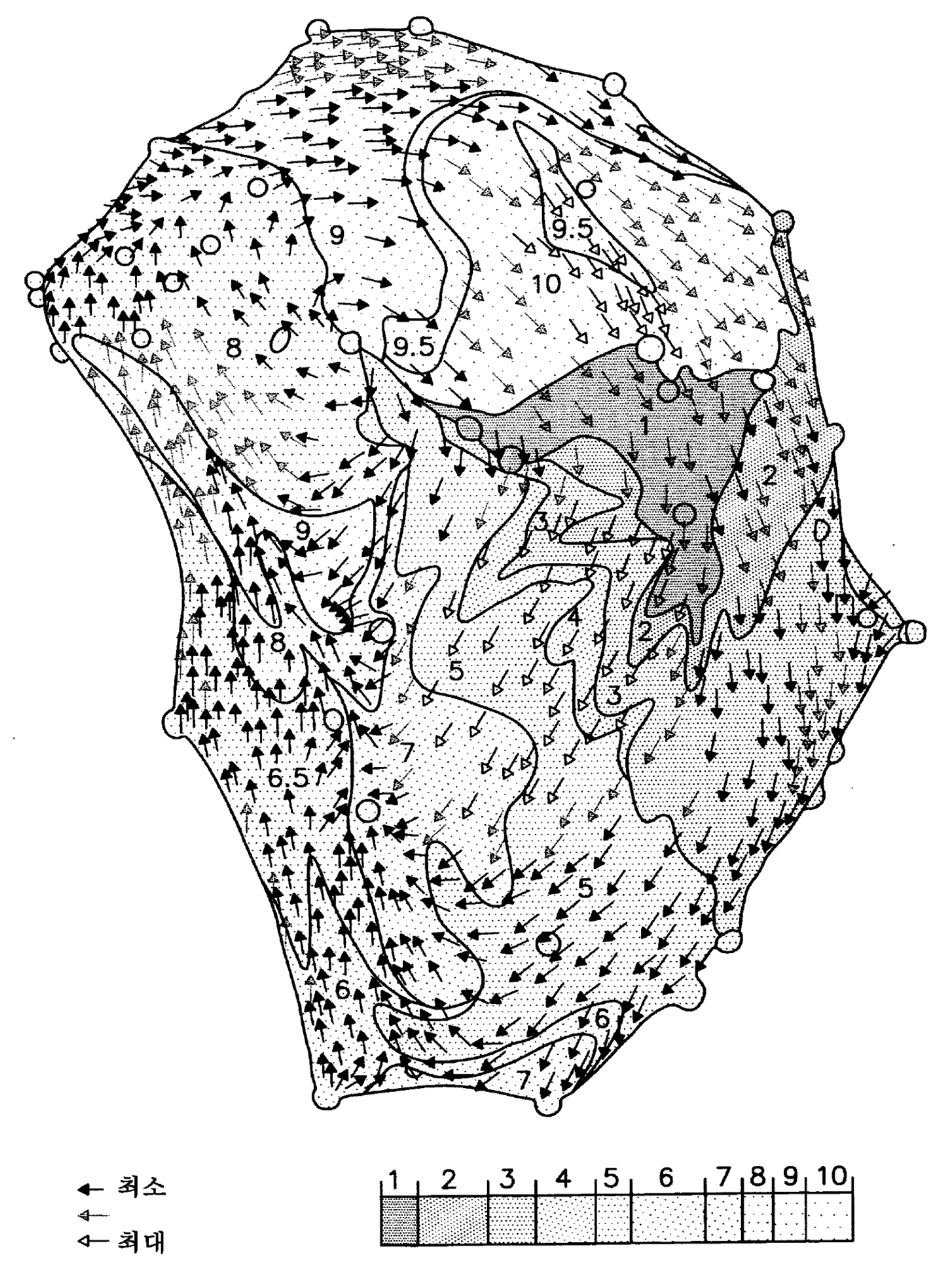


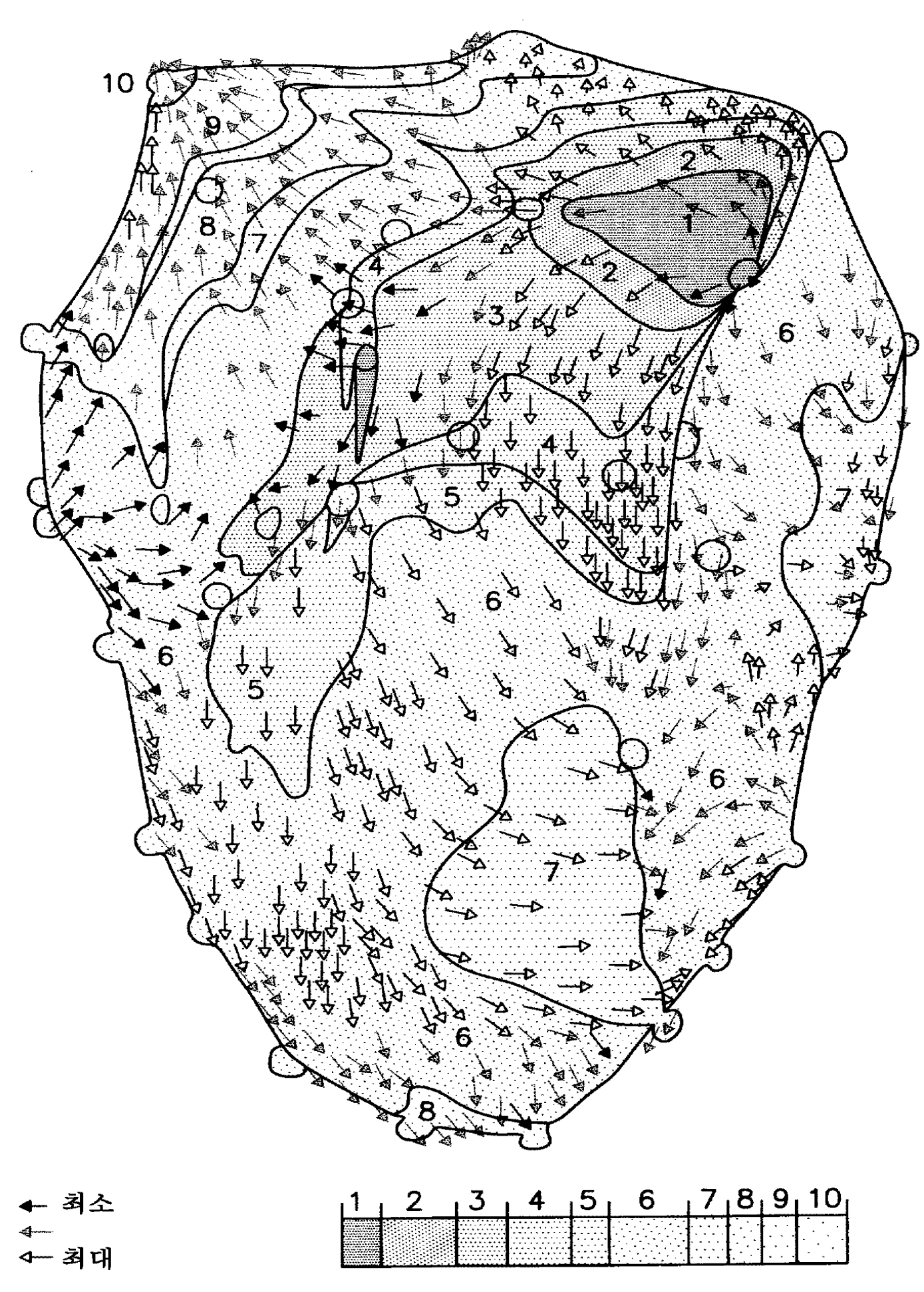
8

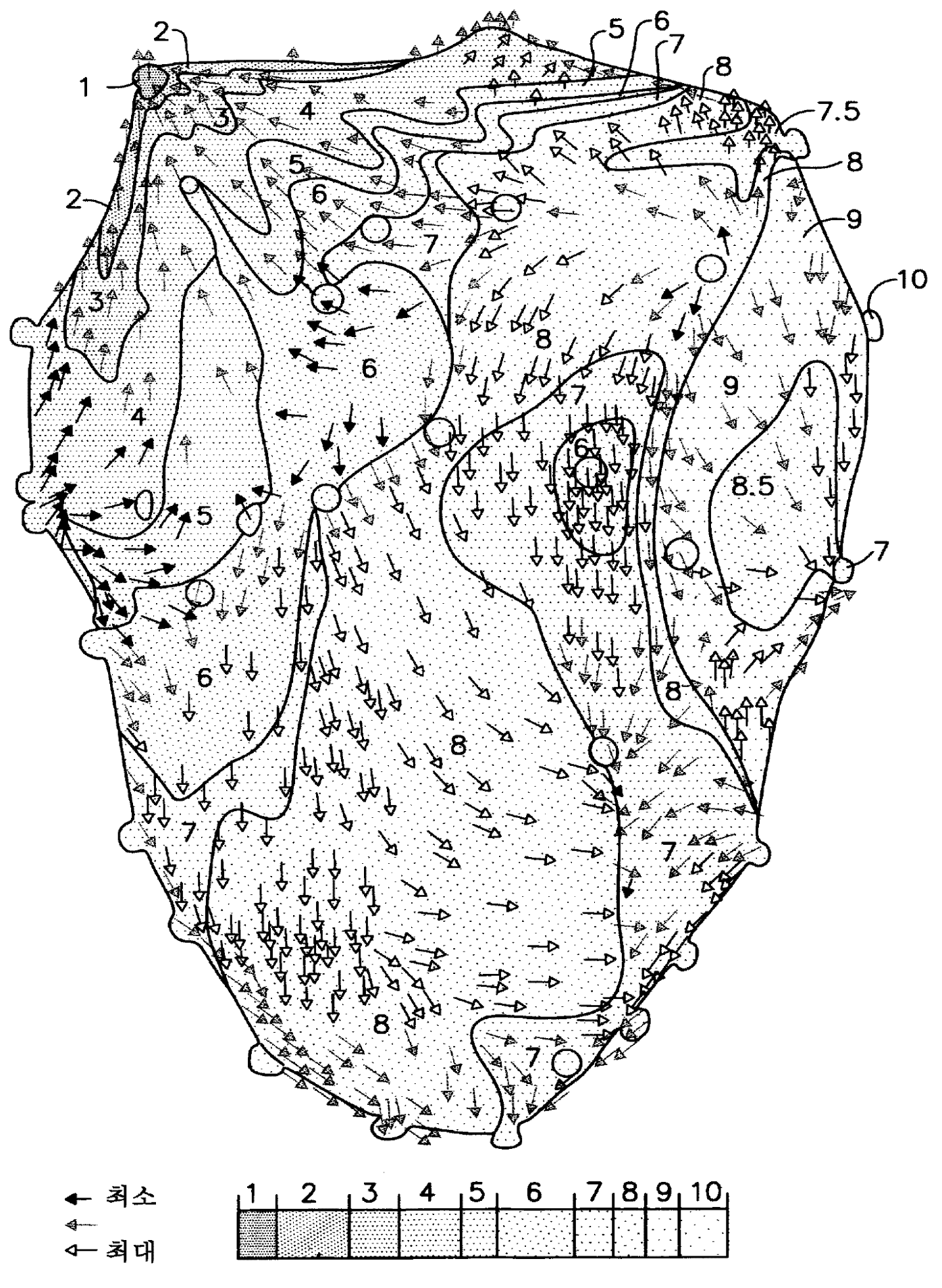


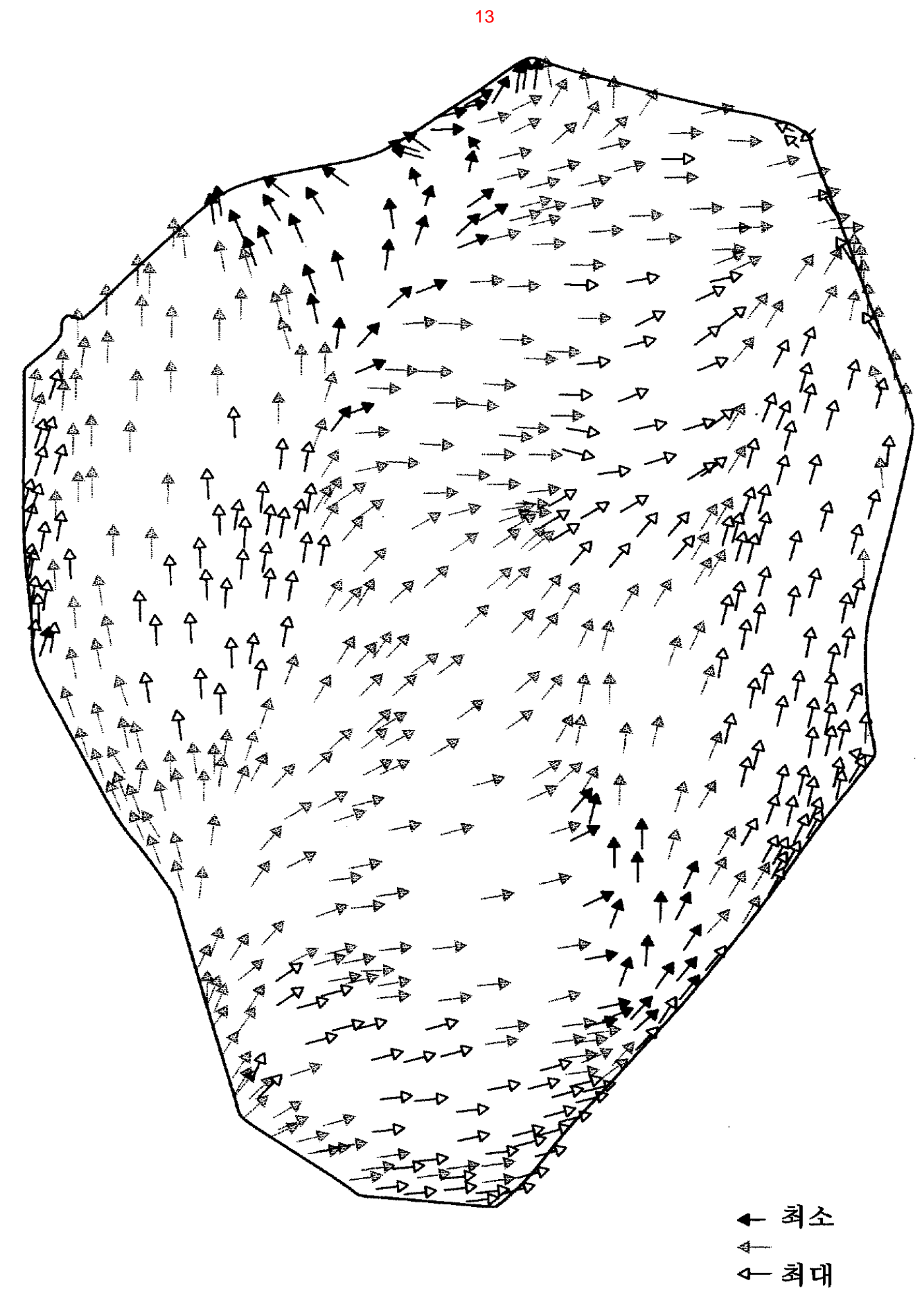


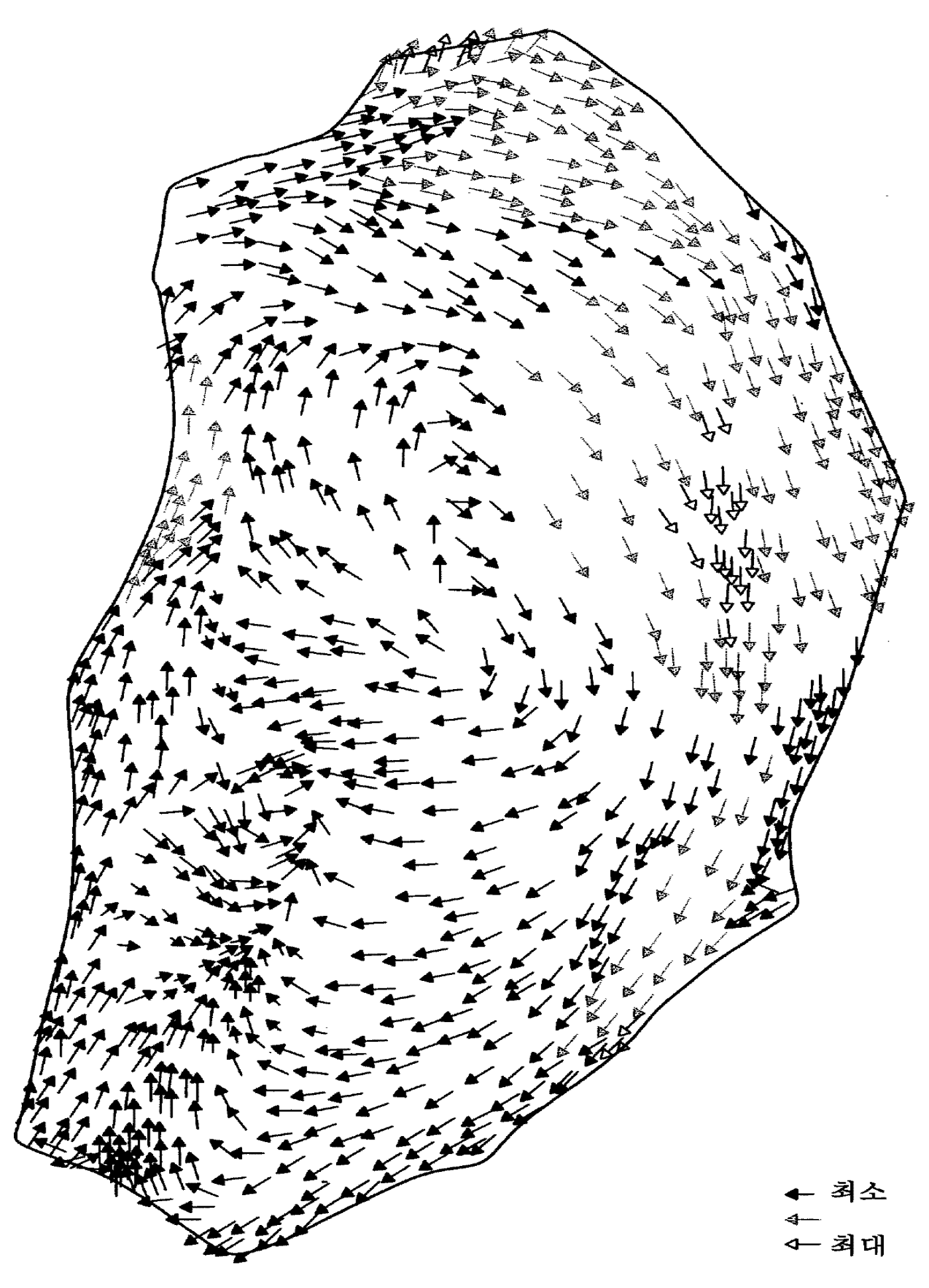














专利名称(译)	矢量映射和显示三维再生内脏		
公开(公告)号	KR1020010066943A	公开(公告)日	2001-07-11
申请号	KR1020000041545	申请日	2000-07-20
[标]申请(专利权)人(译)	生物感覺有限公司		
申请(专利权)人(译)	生物感觉,鼻子的激光炮		
当前申请(专利权)人(译)	生物感觉,鼻子的激光炮		
[标]发明人	REISFELD DANIEL		
发明人	REISFELD,DANIEL		
IPC分类号	A61B5/02 A61B5/042 G06T17/20 A61B5/0402 A61B5/00 A61B A61B5/01 A61B5/0408 A61B5/044 A61B5/04 G06T A61B5/107 A61B5/06 A61B5/05 G06T1/00		
CPC分类号	A61B5/04011 A61B5/04085 G06T17/20 A61B5/0422 A61B5/743		
代理人(译)	李昌勋 李,何炳 李贝尔		
优先权	09/357559 1999-07-22 US		
其他公开文献	KR100686477B1		
外部链接	<u>Espacenet</u>		

摘要(译)

在本发明的心脏等生理结构中诊断异常状态的方法包括计算测量步骤的步骤,以及关于生物结构体表面上至少3个样品点的生理反应的反应的矢量函数,和从显示过程评估异常状态的步骤。从显示过程评估异常状态的步骤指示并显示矢量功能。本发明涉及生理反应为电压的传导速度。心脏,样本点,生理反应,矢量函数,部分激活时间。

